

# بررسی عددی پرش هیدرولیکی دایروی در سیال غیرنیوتونی با روش اصلاح شده VOF

استادیار، گروه مهندسی مکانیک، دانشگاه حکیم سبزواری، سبزوار، ایران

دانشجوی کارشناسی ارشد، گروه مهندسی مکانیک، دانشگاه حکیم سبزواری، سبزوار، ایران

استاد، گروه مهندسی مکانیک، دانشگاه فردوسی مشهد، مشهد، ایران

دانشجوی کارشناسی ارشد، گروه مهندسی مکانیک، دانشگاه حکیم سبزواری، سبزوار، ایران

اسماعیل لکزیان\*

آیدا استیری

علیرضا تیمورتاش

مصطفی نیازی

## چکیده

هنگامی که جت عمودی سیال به یک صفحه افقی برخورد می‌کند، مایع بصورت شعاعی روی صفحه پخش می‌گردد تا اینکه در یک شعاع خاص، جریان فوق-بحranی به جریان زیربحرانی تبدیل می‌شود؛ و پدیده پرش هیدرولیکی دایروی رخ می‌دهد. در مطالعه حاضر، این پدیده برای اولین بار با استفاده از نرم افزار اوین فوم و روش اصلاح شده (VOF) شبیه‌سازی شد. تاثیر دبی جرمی و ارتفاع پایین دست بر شعاع پرش برای سیال نیوتونی (آب) و سیال غیرنیوتونی (هرشل-بالکلی) از نظر کمی و کیفی مقایسه گردید؛ اعبار استجوابی نتایج شبیه سازی با استفاده از داده‌های آزمایشگاهی و نظریه اصلاح شده واتسون و حل تقریبی بور ایجاد گرفت. نتایج نشان می‌دهد که پرش‌های ایجاد شده در سیال هرشل-بالکلی در مقایسه با آب شعاع کمتری دارد و نسبت به تغییرات دبی و ارتفاع پایین دست حساسیت کمتری نشان می‌دهد. تغییرات شعاع پرش در سیال هرشل-بالکلی با افزایش دبی و ارتفاع پایین دست کاهش می‌یابد.

واژه‌های کلیدی: پرش هیدرولیکی دایروی، شعاع پرش، جت سیال، سیال هرشل-بالکلی.

## Numerical investigation of Circular hydraulic jump with Non-Newtonian Fluid using modified VOF Method

E. Lakzian

Department of Mechanical Engineering, Hakim Sabzevari University, Sabzevar, Iran

A. Estiri

Department of Mechanical Engineering, Hakim Sabzevari University, Sabzevar, Iran

A. R. Teymourtash

Department of Mechanical Engineering, Ferdowsi University of Mashhad, Mashhad, Iran

M. Niazi

Department of Mechanical Engineering, Hakim Sabzevari University, Sabzevar, Iran.

### Abstract

When a vertical liquid jet impinges on a horizontal solid surface, the liquid will spread radially on screen until at a particular radius the supercritical flow converts to subcritical flow and circular hydraulic jump phenomenon occurs. In present study, this phenomenon was simulated for first time by using Open FOAM software and modified VOF method. Validation of simulation results was performed with the experimental data and the Watson's modified theory and Bohr's approximate solution. The effect of mass flow rate and downstream height were compared in terms of quality and quantity for Newtonian fluid (water) and non-Newtonian fluid (Herschel-Bulkley). The results show that the jumps associated with the Herschel-Bulkley (HB) have smaller radius in compare to water and have low sensitive to changes in flow rate and downstream height. Variation of jump radius in HB fluid decreases with increasing flow rate and downstream height.

**Keywords:** Circular hydraulic jump, Radius of jump, Fluid jet, Herschel-Bulkley fluid.

لرد ریلی نخستین کسی بود که پرش هیدرولیکی دایروی را در سال ۱۹۱۴ مورد بررسی قرار داد، ریلی جریان در پرش هیدرولیکی را غیر لزج در نظر گرفت و نظریه خود را در این زمینه ارائه کرد [۲]. نظریه پرش هیدرولیکی دایروی غیرلزج بعدها بطور مفصل توسط بیرخوف و زارانتنلو در سال ۱۹۵۷ ارائه شد. بعدها محققان زیادی نشان دادند که نظریه غیرلزج برای پیش‌بینی محل و قوی پرش از دقت کافی برخوردار نیست، بنابراین اثر لزجت باید در نظر گرفته می‌شد [۳]. واتسون اولین کسی بود که تاثیر لزجت را در مسئله پرش هیدرولیکی دایروی در نظر گرفت [۴]، تحلیل او مبتنی بر نظریه اساسی لایه مرزی پرانتل بود و جریان را بر حسب زیر لایه بلازیوس که در نزدیکی نقطه برخورد توسعه می‌یابد و نیز حل تشابهی در دور دست توصیف کرد. واتسون ساختار جریان لزج را در لایه نازک فوق بحرانی سیال قبل از پرش به دقت تحلیل کرد و یک حل تشابهی را برای

### ۱- مقدمه

اصابت جت عمودی مایع به صفحه افقی موجب پخش شدن شعاعی فیلم نازکی از سیال بر سطح می‌شود. چنانچه این لایه سیال با سرعتی بیش از سرعت بحرانی حرکت کند، پس از پخش شدن سیال در فاصله‌ای خاص از نقطه اصابت جت عمق سیال به طور ناگهانی افزایش یافته و جریان به حالت زیر بحرانی تغییر وضعیت می‌دهد. این پدیده که از پدیده‌های مهم جریان سیال است، پرش هیدرولیکی دایروی نامیده می‌شود، "شکل ۱" نمونه‌ای از پرش هیدرولیکی دایروی را نشان می‌دهد. اصابت جت عمودی سیال به صفحات صلب جامد در فرآیندهای خنک کاری مانند خنک کاری بعضی از قطعات الکترونیکی و برخی قطعات صنعتی طی فرآیند تراشکاری و براده برداری و همچنین در تولید آینه‌های لیزری و گاه در پاشش سوخت درون بعضی از کوره‌های صنعتی و اتاق‌های احتراق کاربرد دارد [۱].

معادلات ناویر- استوکس بدست آورد. نظریه واتسون در مورد پرش هیدرولیکی دایروی پس از او بارها توسط محققین مختلف مورد مطالعه و

بررسی آزمایشگاهی قرار گرفت. مهمترین نقض نظریه واتسون را می‌توان در چشمپوشی از تاثیر کشش سطحی عنوان کرد که همین امر باعث

اختلاف میان آن و نتایج تجربی بخصوص در پرش‌های هیدرولیکی کوچک می‌شد. بوش و آریستوف [۵] در سال ۲۰۰۳ با مد نظر قرار دادن

تاثیر کشش سطحی سیال در مساله پرش هیدرولیکی دایروی بصورت تحلیلی و نیز آزمایشگاهی توانستند نظریه واتسون را اصلاح کرده و دقت

آن را بهبود بخشنده. بوش و همکاران [۶] همچنین در سال ۲۰۰۶ بصورت آزمایشگاهی به بررسی پایداری پرش هیدرولیکی دایروی و امکان تبدیل

آن به شکل‌های دیگر پرداختند. گرارد و همکاران [۷] نیز در سال ۲۰۰۶ پرش هیدرولیکی ناشی از برخورد یک جت سیال به صفحه

متحرک به روش عددی و آزمایشگاهی بررسی کردند تا بتوانند فرایند ۲۰۰۷ ساخت فولاد را شبیه‌سازی کنند. ری و بهاتاچارچی [۸] در سال

موچهای ایستا و متحرک را در پرش هیدرولیکی دایروی مورد مطالعه قرار دادند. اخیراً نیز جی و دی‌میکی لویچ [۹] در سال ۲۰۰۸ یک مدل

اضمحلال ساده برای پرش هیدرولیکی دایروی ارائه کردند.

نکته مهمی که می‌توان به آن اشاره کرد این است که آزمایش اکثر محققین با آب به عنوان سیال عامل انجام شده است. بوش و آریستوف

معتقد بودند که لرجت کم آب موجب ناپایداری پرش و در نتیجه موجب پراکندگی داده‌های تجربی می‌گردد، لذا به همین دلیل بعداً در

آزمایش‌های خود از سیالات لرج تری مثل محلول آب-گلیسول استفاده کردند و همین امر موجب شد که بتوانند پرش‌های پایا و نیز با حساسیت

کمتری نسبت به تغییر پارامترها را مشاهده و گزارش نمایند.

در سال ۲۰۱۱ پسندیده فرد و همکاران [۱۰] بصورت عددی پدیده پرش

هیدرولیکی دایروی را به کمک روش نسبت حجمی سیال برای آب و اتیلن گلیکول شبیه سازی کردند و تاثیر پارامترهای مهم بر شاعع پرش را مورد مطالعه قرار دادند. همچنین آنها مشاهده کردند که سیال اتیلن گلیکول به دلیل لرجت بیشتر نسبت به آب، پرش‌های پایاتر و با تعادل بیشتری را تشکیل می‌دهد.

در سال ۲۰۱۵ تیمورتاش و همکاران [۱۱] بصورت آزمایشگاهی پدیده

پرش هیدرولیکی دایروی را بررسی کردند و مشاهده کردند که در برخی سیالات انتقال از جریان فوق بحرانی به زیر بحرانی به شکل پرش

هیدرولیکی دایروی رخ نمی‌دهد بلکه پرش‌های پایدار به شکل چند ضلعی نمایان می‌گردد. علاوه بر این آن‌ها نوعی جیدیدی از پرش را مشاهده کردند که حالت پایدار خود را از دست داده و رفتار چرخشی موجی از خود بروز می‌دهد.

در سال ۲۰۱۳ آراکری و همکاران [۱۶] پرش هیدرولیکی دایروی را شبیه‌سازی کردند. در این بررسی با استفاده روش انتگرالی جدید برای

محاسبه جریان فیلم سیال ارائه شد. با استفاده از نتایج این مقاله می‌توان ضخامت فیلم سیال را برای بازه‌های از آهنگ جریان بدست آورد. همچنین

پدیده جدید ناشی از انتقال موج در سطح کشف شد. در سال ۲۰۱۳ توسط روجاس و همکاران [۱۷] نتایج عددی و نظریه پرش هیدرولیکی

دایروی با استفاده از تئوری روانکاری ارائه گردید. به طور خاص یک اصلاحیه برای مقیاس‌گذاری پرش هیدرولیکی دایروی بدست آمد. نتایج

بدست آمده در عمق، چگالی و کشش سطحی زیر بحرانی در شرایط با



شکل ۱- پرش هیدرولیکی دایروی [۱۰]

## ۲- نظریه اصلاح شده واتسون

نظریه لرج پرش دایره‌ای واتسون معتبرترین نظریه در زمینه تعیین شاعع پرش‌های دایروی است. لایه مرزی از نقطه اصابت جت به صفحه شروع به رشد کردن می‌نماید. این لایه مرزی در فاصله‌ای معین از نقطه اصابت جت به سطح آزاد جریان می‌رسد. طبق نظریه واتسون این فاصله ( $r_0$ ) برابر با  $0.315aRe^{1/3}$  است، که در آن  $a$  شاعع پرش سیال می‌باشد. معادله مورد نیاز برای بدست آوردن شاعع پرش  $R_j$  بسته به این که پرش قبل از  $r_0$  رخ دهد یا بعد از آن متفاوت است. طبق نظریه اصلاح شده در  $r_0 < R_j$ ، سرعت سطح آزاد سیال تا قبل از پرش برابر با سرعت جت خروجی است و معادله تعیین شاعع به صورت رابطه ۱ بیان شده است:

از حل معادله (۶) جهت تقریب سطح آزاد جریان استفاده می شود، به جهت تغییرات شدید سطح در پدیده پرش هیدرولیکی دایروی لازم است از روشی با دقیق بیشتر جهت تقریب سطح آزاد استفاده شود، بر این مبنای ولر در سال ۲۰۰۲ روش اصلاح شده VOF را ارائه کرد [۱۲]. در این روش جهت پایداری بیشتر و افزایش دقیق در معادله (۶) جمله تراکم پذیری مصنوعی اضافه شده است.

$$\frac{\partial \lambda}{\partial t} + \nabla \cdot (\lambda \bar{u}) + \nabla \cdot [\mathbf{u}_r \lambda (1 - \lambda)] = 0 \quad (7)$$

$$\bar{u} = \lambda u_1 + (1 - \lambda) u_2 \quad (8)$$

$$u_r = u_1 - u_2 \quad (9)$$

در این بررسی گستته سازی جمله زمانی به روش اویلر پیشرو انجام گرفته است.

$$\begin{aligned} & \frac{R_j H_\infty^2 g a^2}{Q^2} \left(1 + \frac{2}{B_0}\right) + \frac{a^2}{2\pi^2 R_j H_\infty} \\ & = 0.10132 - 0.1297 \left(\frac{R_j}{a}\right)^{\frac{3}{2}} \text{Re}^{-\frac{1}{2}} \end{aligned} \quad (1)$$

که در آن  $Bo = \rho g R_j \Delta H / \sigma$  عدد باند که در برگیرنده کشش سطحی است و  $\Delta H$  اختلاف بین ارتفاع بالادست و پایین دست پرش است.

اما در پرش هایی که  $R_j > r_0$  می باشد، معادله تعیین شعاع پرش عبارت است از:

$$\begin{aligned} & \frac{R_j H_\infty^2 g a^2}{Q^2} \left(1 + \frac{2}{B_0}\right) + \frac{a^2}{2\pi^2 R_j H_\infty} = \\ & 0.01676 \left[\left(\frac{R_j}{a}\right)^3 \text{Re}^{-1} + 0.1826\right]^{-1} \end{aligned} \quad (2)$$

در این حالت سرعت سیال قبل از پرش برابر است با:

$$U(r) = \frac{27c^2}{8\pi^2} \frac{Q^2}{v(r^3 + l^3)} \quad (3)$$

که در آن  $c = 1.402$  و  $l = 0.567a\text{Re}^{1/3}$  است [۵].

### ۳- روش تقریبی بور

این روش با استفاده از روش آب کم عمق توسط بور و همکاران [۱۵] برای تخمین شعاع پرش هیدرولیکی ارائه شده است:

$$R_j \sim q^{5/8} v^{-3/8} g^{-1/8} \quad (4)$$

که در این رابطه  $Q = 2\pi r J$  و  $q = Q/2\pi$  شعاع پرش هیدرولیکی است. با توجه به رابطه شعاع پرش هیدرولیکی با دبی حجمی رابطه مستقیم و با شتاب گرانش و لزجت دینامیکی رابطه معکوس دارد. ثابت تناسب ارائه شده برای تناسب  $73/70$  است [۱۵].

### ۴- روش اصلاح شده نسبت حجمی سیال (VOF)

در روش VOF، حرکت مرز مشترک بین دو سیال به وسیله تابع نشانگر  $\lambda$  مدل می شود:

$$\lambda(x, y, t) = \begin{cases} 1 & \text{in liquid} \\ 0 & \text{at the liquid-gas interface} \\ 0 & \text{in gas} \end{cases} \quad (5)$$

که در رابطه (۵)،  $t$  نشان دهنده زمان و  $y$  نشان دهنده محل گره در مدل عددی است. از آجا که متغیر  $\lambda$  به نوعی نشان دهنده ماهیت فاز می باشد، لذا می توان بر این اساس، یک معادله شبیه به معادله پیوستگی برای هر فاز نوشت. از طرفی فرض بر این است که متغیر لاغرانژی  $\lambda$  توسط جریان منتشر می شود، پس معادله انتقال زیر را می توان صادق دانست:

$$\frac{D\lambda}{Dt} = \frac{\partial \lambda}{\partial t} + \nabla \cdot (\lambda \mathbf{u}) = S \quad (6)$$

کمیت  $S$  نشان دهنده جمله چشممه تبادل جرم دو فاز می باشد. در شرایطی که پدیده های شامل انتقال جرم مانند جوشش، کاویتاسیون، چگالش و ... بین دو فاز برقرار نباشد، مقدار  $S$  برابر صفر در نظر گرفته می شود.

با در نظر گرفتن کشش سطحی معادله (۱۲) به صورت زیر نوشه می شود:

$$\frac{\partial \rho \mathbf{u}}{\partial t} + \nabla \cdot (\rho \mathbf{u} \mathbf{u}) = -\nabla P + \nabla \cdot \tau + \rho \mathbf{g} \quad (13)$$

در این معادله  $\mathbf{N}$  نیروی کشش سطحی می باشد، که در سطح بین دو

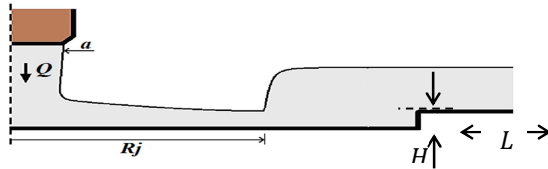
فاز عمل می کند. در روش نسبت حجمی سیال برای حل معادله مومنتوم، جمله نیروی کشش سطحی به عنوان یک نیروی حجمی در معادله (۱۴) فرمول بندی می گردد. این روش به مدل CSF معروف بوده و توسط برکبیل ارائه گردیده است [۱۳]. طبق این روش انجنا سطح

طبق رابطه زیر تعریف می شود:

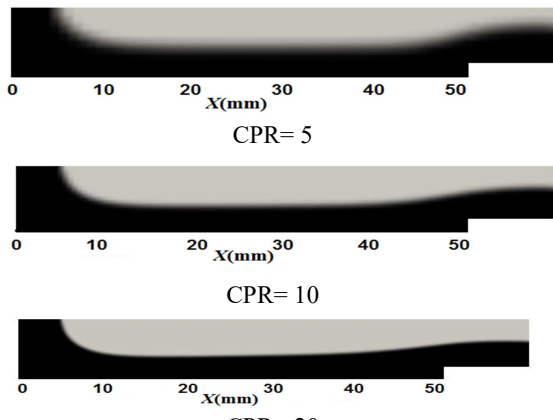
$$\kappa = \nabla \cdot \hat{\mathbf{N}} = \nabla \cdot \frac{\mathbf{N}}{|\mathbf{N}|} = \nabla \cdot \left( \frac{\nabla \lambda}{|\nabla \lambda|} \right) \quad (15)$$

که در این رابطه  $N$  بردار نرمال بر سطح می باشد و نیروی حجمی با رابطه زیر تقریب زده شده است:

$$= \alpha \kappa \frac{\rho}{\frac{1}{2}(\rho_1 + \rho_2)} \nabla \lambda \approx \alpha \kappa \nabla \lambda \quad F \quad (16)$$



شکل ۲- طرحواره مقطع عرضی پرش هیدرولیکی دایروی و ارتفاع مانع پایین دست "H" و طول مانع "L"



شکل ۳- شبیه سازی مقطع عرضی پرش هیدرولیکی دایروی به ازای مقادیر مختلف CPR به منظور بررسی تاثیر اندازه شبکه بر حل عددی آب

#### ۷- اعتبار سنجی برنامه عددی

برای شبیه سازی پرش هیدرولیکی دایروی با توجه به تجربه کسب شده در این زمینه حوزه حل  $60 \times 10\text{mm}^2$ , دبی  $30\text{ml/s}$ , شاعع جت ورودی  $a=5\text{mm}$  و مطابق "شکل ۲" طول مانع  $L=10\text{mm}$  و ارتفاع  $H=2\text{mm}$  به عنوان مدل پایه انتخاب شدند. به منظور تایید برنامه عددی، نتایج عددی مربوط شاعع پرش هیدرولیکی مدل پایه به دو روش اعتبار سنجی شد. در "شکل ۴" تغییرات شاعع پرش هیدرولیکی دایروی بر حسب عدد رینولدز  $(Re = Q/\nu a)$  حاصل از شبیه سازی عددی به روش اصلاح شده VOF با نتایج تجربی اریکو<sup>۱۴</sup> و حل تقریبی بور مقایسه و نشان داده شد است که تطابق خوبی بین نتایج عددی و تجربی و حل تقریبی وجود دارد. در "شکل ۵" نتایج بدست آمده از شبیه سازی عددی سیال نیوتونی با نظریه واتسون مقایسه شده است، جوابها دارای انطباق قابل قبولی هستند. در سیال نیوتونی در این بررسی

$$\left(\frac{R_j}{a}\right)^3 Re^{-1} \quad \text{در بازه } ۰ \text{ تا } ۰/۱۸ \text{ در حال تغییر است.}$$

در رابطه (۱۴)،  $\tau$  تنسور تنش بوده که با نرخ کرنش بصورت زیر رابطه دارد:

$$\tau = \eta(\dot{\gamma})\dot{\gamma} \quad (16)$$

که  $\eta$  لزجت و  $\dot{\gamma}$  نرخ کرنش می باشد. در این تحقیق از سیال هرشل- بالکلی به عنوان سیال عامل استفاده شده است، در این سیال رابطه تنش با نرخ کرنش به شکل زیر می باشد:

$$\tau = (m|\dot{\gamma}|^{n-1} + \frac{\tau_0}{|\dot{\gamma}|})\dot{\gamma} \quad |\tau| > \tau_0 \quad (17)$$

$$\dot{\gamma} = 0 \quad |\tau| < \tau_0 \quad (18)$$

در این معادله  $n$  شاخص رفتاری جریان،  $m$  شاخص سازگاری،  $\tau_0$  تنسش تسیلیم می باشد، همچنین نرخ کرنش با سرعت رابطه دارد:

$$\dot{\gamma} = \nabla u + (\nabla u)^T \quad (21)$$

کمیت های چگالی و لزجت به شکل زیر تعریف شده اند:

$$\rho = \lambda\rho_1 + (1-\lambda)\rho_2 \quad (21)$$

$$\eta = \lambda\eta_1 + (1-\lambda)\eta_2 \quad (22)$$

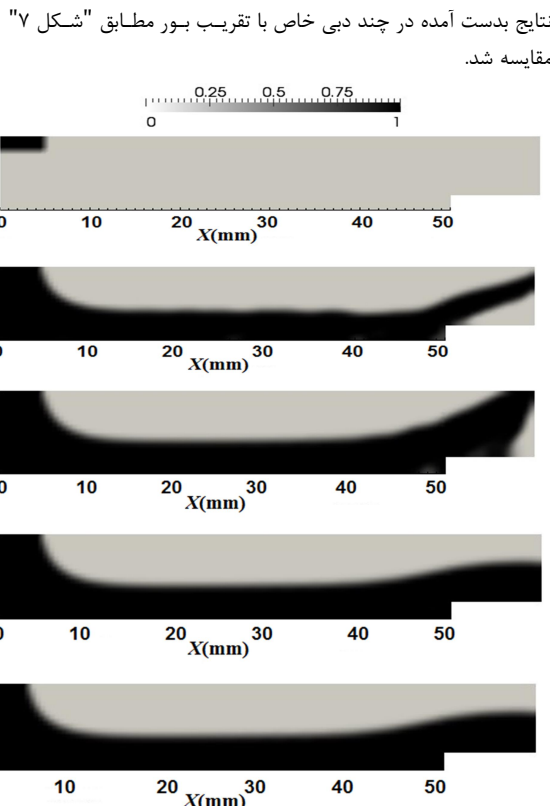
در معادلات فوق زیر نویس ۱۶ اشاره به دوفاز مایع و گاز دارد. معادله مومنتوم فقط زمانی حل می شود که میدان فشار معلوم باشد و یا به طریقی برآورد گردد، میدان سرعت حاصل از حل معادله مومنتوم زمانی در معادله پیوستگی صدق می کند، که میدان فشار استفاده شده صحیح باشد بنابراین باید الگوریتمی اتخاذ شود که حدس اولیه جهت شروع حل را اصلاح کند که معادله پیوستگی ارضا شود. الگوریتم مورد استفاده جهت حل معادله مومنتوم الگوریتم<sup>۱</sup> PISO می باشد.

#### ۶- وابستگی به شبکه محاسباتی

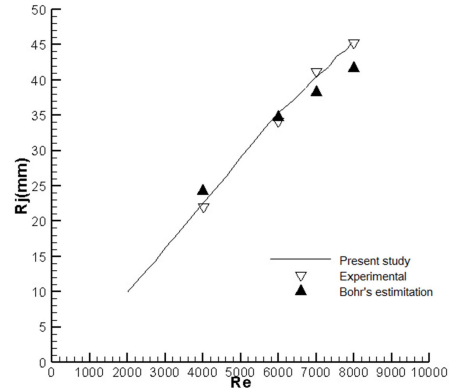
"شکل ۲" طرحواره مقطع عرضی پرش هیدرولیکی دایروی را نشان می دهد. برای ایجاد پرسهایی با ساختارهای مختلف از مانع حلقوی در پایین دست جریان استفاده می شود. به منظور بررسی اندازه شبکه محاسباتی بر شبیه سازی پرش هیدرولیکی دایروی و ویژگی های آن، پارامتری به نام CPR<sup>۱</sup> بصورت نسبت تعداد سلول محاسباتی به شاعع جت ورودی تعریف شده است. بدین ترتیب اجرهای مختلف برنامه به ازای مقادیر مختلف CPR صورت گرفته تا تاثیر اندازه شبکه بر حل مشخص شود. شبیه سازی پرش هیدرولیکی دایروی به ازای شرایط یکسان برای سه مقدار مختلف CPR=5,10,20<sup>۲</sup> با شبکه بندی یکنواخت در "شکل ۳" نشان داده شده است. این نتایج برای آب به عنوان سیال عامل در دمای ۲۵ درجه سلسیوس و به ازای جتی به شاعع  $a=5\text{ mm}$ , ارتفاع مانع  $2\text{ mm}$  دبی  $30\text{ ml/s}$  بدست آمده اند. با توجه نتایج مشاهده شد که برای CPR=5، پرش پایدار بدست نمی آید، به ازای مقادیر 10 و 20 پرش پایدار شبیه سازی شده و با افزایش مقدار این پارامتر از 10 به 20 تغییر چندانی در شاعع پرش مشاهده نمی شود. لذا مقدار CPR=10 با شبکه یکنواخت در تمامی شبیه سازی ها در این مقاله مورد استفاده قرار گرفته است.

<sup>1</sup> Pressure implicit whit Solitting of Operators

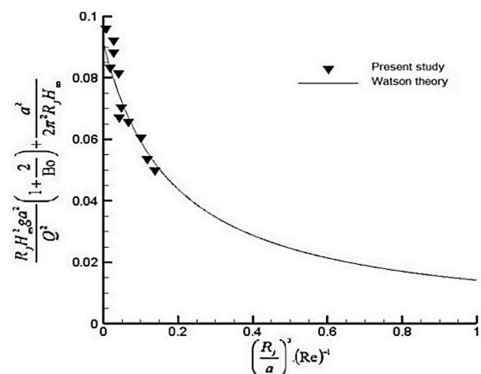
<sup>2</sup> Cell per radius



شکل ۶- توسعه مقطع عرضی پرش هیدرولیکی دایروی در  $0s, 0.1s, 0.2s, 0.5s, 0.6s$  – آب



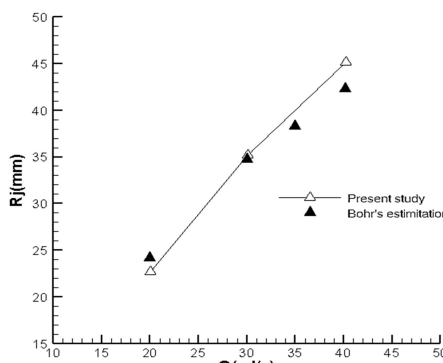
شکل ۴- شعاع پرش نتایج عددی سیال نیوتونی و تخمین پور و تجربی [۱۴]



شکل ۵- شعاع پرش نتایج عددی سیال نیوتونی و نظریه واتسون

## ۸- نتایج عددی

در این بخش نتایج مربوط به شبیه سازی عددی پرش هیدرولیکی دایروی با استفاده از روش اصلاح شده VOF شامل تاثیر پارامترهای مختلف نظری مقدار دبی، اندازه ارتفاع پایین دست، میزان لزجت و نوع سیال بر شعاع پرش هیدرولیکی دایروی می باشد.  
نحوه توسعه یک پرش هیدرولیکی دایروی برای مدل پایه مذکور در "شکل ۶" نشان داده شده است. با توجه به این شکل مشاهده می شود که پرش هیدرولیکی دایروی چگونه طبق روش نسبت حجمی سیال شبیه سازی شده است. با توجه به شکل واضح است که پرش در  $40\text{ ml/s}$  به حالت پایا رسیده است.



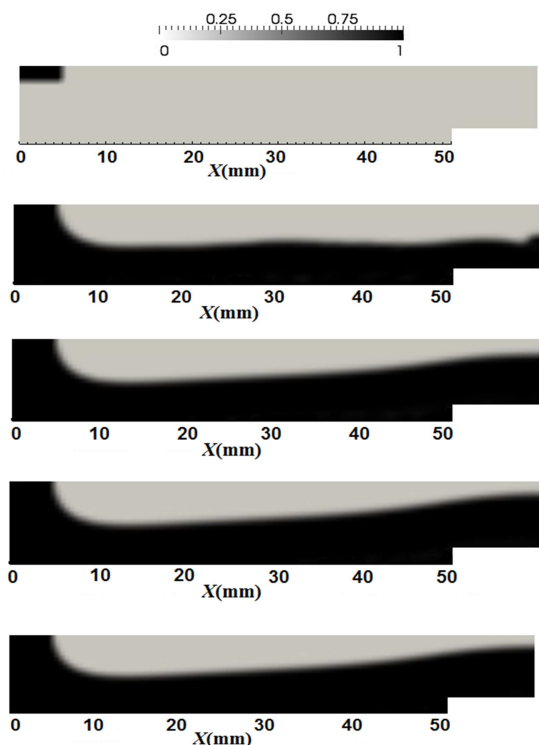
شکل ۷- تغییرات شعاع پرش بر حسب دبی حجمی سیال – آب

## ۹- تاثیر اندازه ارتفاع پایین دست بر شعاع پرش هیدرولیکی دایروی

در "شکل ۸" تغییرات شعاع پرش بر حسب این پارامتر برای مدل پایه نشان داده شده است. با توجه به شکل مشاهده می شود که شعاع پرش با افزایش ارتفاع پایین دست کاهش می یابد. این موضوع بصورت تجربی توسط محققین زیادی مشاهده و گزارش شده است. نتایج مطالعه حاضر در چند ارتفاع پایین دست خاص با تقریب بور مقایسه گردیده است که دارای انطباق قابل قبولی هستند.

## ۱۰- تاثیر مقدار دبی حجمی سیال بر شعاع پرش هیدرولیکی دایروی

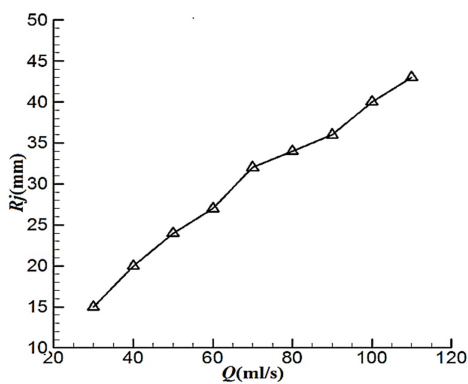
مقدار دبی حجمی سیال بر شعاع پرش موثر است. این امر در تقریب بور به طور واضح مشهود است. در "شکل ۶" تغییرات شعاع پرش هیدرولیکی دایروی بر حسب دبی حجمی سیال برای مدل پایه نشان داده شده است. با توجه به شکل واضح است که با افزایش مقدار دبی، شعاع پرش هیدرولیکی افزایش یافته است. به ازای افزایش سیار زیاد دبی، جریان درهم شده و تغییرات چشم گیری در شعاع پرش مشاهده می شود.



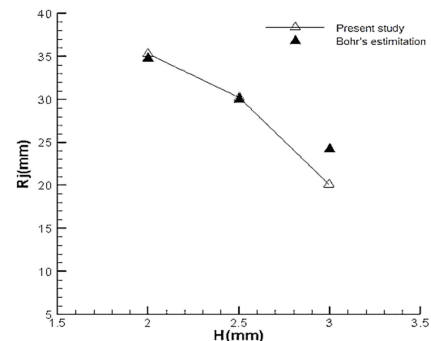
شکل ۱۰- توسعه مقطع عرضی پرش هیدرولیکی دایروی در ۰s، ۰.۱s، ۰.۲s، ۰.۵s، ۰.۶s سیال هرشل- بالکلی

#### ۵-۸- تاثیر مقدار دبی حجمی بر شعاع پرش در سیال غیر نیوتونی

در "شکل ۱۱" تغییرات شعاع پرش هیدرولیکی دایروی بر حسب دبی حجمی سیال برای مدل پایه نشان داده شده است. در مقایسه شعاع پرش هیدرولیکی دایروی آب و سیال غیر نیوتونی مشاهده می شود که با توجه به رفتار سیال غیر نیوتونی به ازای دبی های بسیار زیاد هنوز هم می توان پرش های هیدرولیکی پایا را مشاهده نمود، در حالی که برای آب این وضعیت وجود ندارد و به ازای دبی های بسیار زیاد با توجه به "شکل ۱۲" پرش های پایا نیستند.



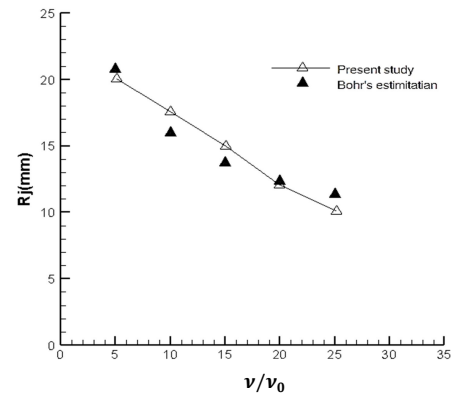
شکل ۱۱- تغییرات شعاع پرش نسبت به دبی حجمی سیال در سیال هرشل- بالکلی



شکل ۸- تغییرات شعاع پرش نسبت به ارتفاع پایین دست - آب

#### ۳-۸- تاثیر لزجت بر شعاع پرش هیدرولیکی دایروی

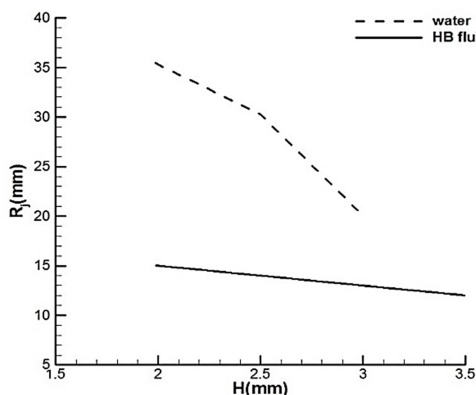
در شکل ۹ تغییرات شعاع پرش هیدرولیکی دایروی بر حسب لزجت سیال بصورت بدون بعد برای مدل پایه نشان داده شده است. این نمودار با تغییر مقدار لزجت و ثابت نگه داشتن سایر پارامترها بدست آمده است. با توجه به "شکل ۹" مشاهده می شود که با افزایش لزجت سیال شعاع پرش هیدرولیکی کاهش می یابد، انتظار این موضوع می رود. چرا که هرچه سیال لزجت باشد پخش شدن آن بر روی سطح سخت تر و طولانی تر است و لذا شعاع پرش برای سیالی با لزجت کوچکتر، بیشتر است. نتایج بدست آمده از روش عددی در چند لزجت بی بعد با تقریب بور مقایسه گردید و در "شکل ۹" گزارش گردید که نتایج به یکدیگر نزدیک هستند.



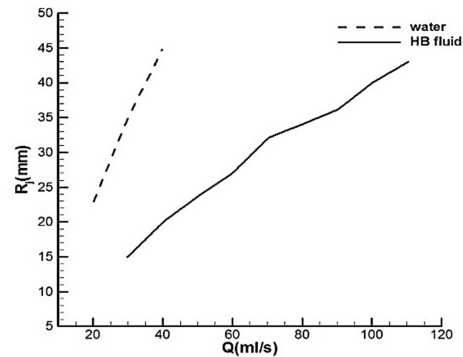
شکل ۹- تغییرات شعاع پرش بر حسب لزجت در سیال غیر نیوتونی

#### ۴-۸- شبیه سازی پرش هیدرولیکی در سیال غیر نیوتونی

برای شبیه سازی پرش هیدرولیکی دایروی در سیال غیر نیوتونی هرشل- بالکلی، از مدل پایه با ابعاد  $60 \times 10 \text{ mm}$ ،  $60 \text{ ml/s}$ ، دبی  $30 \text{ ml/s}$  شعاع جت  $H=2 \text{ mm}$ ، طول مانع  $L=10 \text{ mm}$ ،  $a=5 \text{ mm}$ ، ارتفاع مانع  $n=0.53$  و تنش تسلیم  $\tau_0 = 18.24 \text{ Pa}$  استفاده شده است و دمای شاخص سازگاری جریان  $m = 1.9 \text{ Pa.s}^n$  است. درجه سلسیوس می باشد. نحوه توسعه یک پرش هیدرولیکی دایروی برای مدل پایه مذکور در "شکل ۱۰" نشان داده شده و با توجه به شکل، پرش در ۰.۶ ثانیه به حالت پایا رسیده است.



شکل ۱۴- مقایسه تغییرات شعاع پرش نسبت به ارتفاع پایین دست در سیال هرشل-بالکلی و آب



شکل ۱۲- تغییرات شعاع پرش نسبت به دبی حجمی سیال - سیال هرشل-بالکلی و آب

## ۶-۸- تاثیر اندازه ارتفاع مانع بر شعاع پرش در سیال غیر نیوتونی

هنگامی که یک جت عمودی سیال به یک صفحه افقی برخورد می‌کند، سیال بر روی صفحه بصورت شعاعی پخش می‌شود تا اینکه در یک شعاع خاص که شعاع پرش هیدرولیکی دایروی نامیده می‌شود، ضخامت لایه سیال ناگهان افزایش می‌یابد و اصطلاحاً یک پرش هیدرولیکی دایروی شکل می‌گیرد. اصابت جت عمودی سیال به صفحات صلب در خنک کاری اجزاء الکترونیکی، در فرایندهای تولید مواد و نیز برخی از کاربردهای مکانیکی در رابطه با پخش شدن شعاعی سوخت مایع اهمیت پیدا می‌کند و نیز گاهی برای جلوگیری از ایجاد پرش‌های ناپایا نیاز است که پارامترهای موثر بر پرش بطور کامل بررسی شود.

در این مقاله پدیده پرش هیدرولیکی دایروی با نرم افزار اپن‌فوم به کمک روش اصلاح شده VOF شبیه سازی شده است و نتایج عددی از تطابق خوبی با نتایج تجربی و حل معادلات واتسون و تقریب بور برخوردار می‌باشند. شبیه سازی پرش و تأثیر پارامترهای مختلف نظری مقدار دبی حجمی، اندازه ارتفاع پایین دست، لزجت و نوع سیال بر روی شعاع پرش مواردی هستند که در این مقاله به آن‌ها پرداخته شده است.

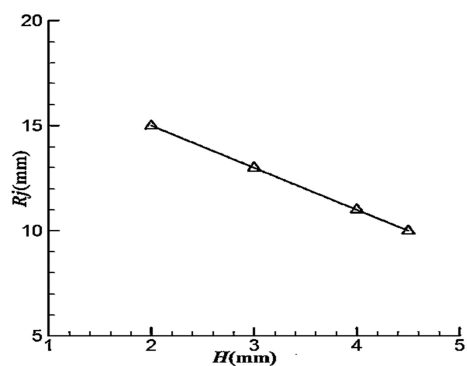
که بطور خلاصه نتایج زیر بدست آمده است:

- تطابق خوبی بین نتایج عددی، نتایج تجربی، حل معادلات واتسون و تقریب بور وجود دارد. بنابراین روش عددی اصلاح شده VOF توانایی خوبی جهت شبیه سازی پرش هیدرولیکی دایروی دارد.

شعاع پرش هیدرولیکی دایروی به پارامترهای مختلف نظری مقدار دبی حجمی سیال، ارتفاع پایین دست و خواص فیزیکی سیال بستگی دارد.

با افزایش ارتفاع پایین دست و لزجت سیال، شعاع پرش کاهش و با افزایش دبی حجمی سیال، شعاع پرش افزایش می‌یابد.

شبیه سازی پرش هیدرولیکی سیال غیر نیوتونی برای اولین بار انجام شد؛ پرش هیدرولیکی ایجاد شده در سیال غیر-نیوتونی در مقایسه با سیال نیوتونی شعاع کمتری دارد و نسبت به تغییرات دبی و ارتفاع پایین دست حساسیت کمتری نشان می‌دهد.



شکل ۱۳- تغییرات شعاع پرش نسبت به ارتفاع پایین دست در سیال هرشل-بالکلی

- [10] Passandideh-Fard M., Teymourtash A.R., Khavari M., Numerical Study of Circular Hydraulic Jump Using Volume-of-Fluid Method, *Journal of Fluids Engineering*, Vol. 133, pp.1-11,2011.
- [11] Teymourtash A.R., Mokhlesi M., Experimental investigation of stationary and rotational structures in non-circular hydraulic jumps, *Journal of Fluid Mechanics*, Vol. 762,pp.344-360,2015.
- [12] Weller H., Derivation modeling and solution of the conditionally averaged two-phase flow equations, *Technical Report TR/HGW/02*, Nabla Ltd, 2002.
- [13] Brackbill J. U., A continuum method for modeling surface tension, *J. Comput. Phys.*, Vol. 100,pp. 335-354,1992.
- [14] Errico M., A Study of the Interaction of Liquid Jets with Solid Surface, Ph.D. Thesis, *University of California*, San Diego, CA, 1986.
- [15] Bohr T., Dimon P., Putkaradze V., Shallow-water approach to the circular hydraulic jump. *Journal of Fluid Mechanics*, Vol.254, pp. 635-648, 1993.
- [16] Arakeri J. H., Rao K. A., On radial film flow on a horizontal surface and the circular hydraulic jump. *Journal of the Indian Institute of Science*, vol.76, No.1, pp.73, 2013.
- [17] Rojas N., Argentina M., Tirapegui E. A progressive correction to the circular hydraulic jump scaling. *Physics of Fluids*, vol.25, No.4, pp. 042105, 2013.
- [18] Vishwanath K. P., Dasgupta Ratul, Govindarajan Rama, Sreenivas K. R., The effect of initial momentum flux on the circular hydraulic jump, *Journal of Fluids Engineering*, vol.137, No. 6, pp.061301,2015.

• تغییرات شعاع پرش در سیال غیرنیوتی با افزایش دبی و ارتفاع پایین دست کاهش می‌یابد.

## ۱۰- فهرست علائم

شعاع جت (mm)	<i>a</i>
شاخص سازگاری سیال (Pa.s <sup>n</sup> )	<i>M</i>
شاخص رفتاری جریان	<i>N</i>
فشار (kgm <sup>-1</sup> s <sup>-2</sup> )	<i>P</i>
دبی حجمی (m <sup>3</sup> /s)	<i>Q</i>
شعاع پرش (mm)	<i>R<sub>j</sub></i>
عدد رینولدز	<i>Re</i>
سرعت (ms <sup>-1</sup> )	<i>u</i>

## علائم یونانی

ضریب کشش سطحی N/m	$\alpha$
نرخ کرنش (1/s)	$\gamma$
لرجه (kgm <sup>-1</sup> s <sup>-1</sup> )	$\eta$
تابع نسبت حجمی سیال	$\lambda$
تائسور تنفس	$\tau$

## زیرنویس‌ها

نسبی	<i>r</i>
فاز مایع	۱
فاز گاز	۲

## ۱۱- مراجع

- [1] Avedisian C. T., Zhao Z, The circular hydraulic jump in low gravity, *Proceedings of the Royal Society of London A:Mathematical, Physical and Engineering Sciences*, Vol. 456, No. 2001, pp. 2127-2151,2000.
- [2] Rayleigh L., On the theory of long waves and bores, *Proceedings of the Royal Society of London. Series A, Containing Papers of a Mathematical and Physical Character*, vol.90, No.619, pp.324-328, 1914.
- [3] Birkhoff G., Zarantonello E., Jets Wakes and Cavities, *Academic*, New York, 1957.
- [4] Watson E.J., The Radial Spread of a Liquid Jet over a Horizontal Plane. *J. Fluid Mech.* Vol. 20, pp. 481–499, 1964.
- [5] Bush J.W.M., Aristoff J.M., The Influence of Surface Tension on the Circular Hydraulic Jumps, *J. Fluid Mech.*,Vol. 489, pp. 229–238,2003.
- [6] Bush J.W.M., Aristoff J.M., An Experimental Investigation of the Stability of the Circular Hydraulic Jump, *J. Fluid Mech.*, Vol. 558, pp. 33-52,2006.
- [7] Gradeck M., Kouachi,A. Dani A., Arnoult D., Borean J., Experimental and Numerical Study of the Hydraulic Jump of an Impinging Jet on a Moving Surface, *Exp. Therm. Fluid Sci.*,Vol. 30,pp. 193–201,2006.
- [8] Ray A., Bhattacharjee J., Standing and Traveling Waves in the Shallow-Water Circular Hydraulic Jump, *Phys. Letters A*,Vol. 371,pp. 241–248, 2007.
- [9] Mikielewicz J., Mikielewicz D., A Simple Dissipation Model of Circular Hydraulic Jump, *Heat and Mass Transfer*, Vol. 52,pp. 17-21,2008.